

## Список литературы

- [1] Адамсон А. Физическая химия поверхностей. М.: Мир, 1979. 568 с.
- [2] Трусов Л.И., Хомянский В.А. Островковые металлические пленки. М.: Металлургия, 1973. 321 с.
- [3] Кагановский Ю.С. и др. // Вопросы атомной науки и техники. 1990. Т. 4. № 12. С. 37-39.
- [4] Любов. Диффузионные процессы в неоднородном твердом теле. М.: Наука, 1981. 255 с.
- [5] Кao Et al. // J. Vac. Sci. Technol. 1989. A 7. N 5. P. 2966-2974.
- [6] Weismantel Chr. et. al. // Neue Hütte. 1984. P. 178-183.

Поступило в Редакцию  
31 января 1991 г.

Письма в ЖТФ, том 17, вып. 7

12 апреля 1991 г.

О1

© 1991

МОЖЕТ ЛИ СЛУЧАЙНАЯ СИЛА ОКАЗЫВАТЬ  
СТАБИЛИЗИРУЮЩЕЕ ВОЗДЕЙСТВИЕ?

В.М. Логинов

Хорошо известно (см., например, [1]), что действие случайных сил на динамическую систему, эволюция которой начинается от некоторого начального состояния, часто проявляется в том, что при выполнении порового условия на интенсивность флуктуационного поля в системе развивается стохастическая неустойчивость. В противоположность этому, неоднородная высокочастотная монохроматическая или квазимонохроматическая сила, наоборот, оказывает стабилизирующее действие и приводит к появлению эффективного притягивающего потенциала [2]. Поскольку процессы в реальной физической системе всегда протекают на фоне действия сил, природа которых, вообще говоря, определяется случайными факторами, то большой практический интерес представляет вопрос о том, может ли случайная сила оказывать стабилизирующее действие или же она всегда генерирует стохастическую неустойчивость?

В работе на примере осциллятора с флуктуирующей частотой указан вид флуктуационного поля, действие которого повышает устойчивость осциллятора в среднеквадратичном. Динамика квадратичных характеристик  $x^2(t)$ ,  $\zeta^2(t)$  и  $x(t)\zeta(t)$  описывается уравнением

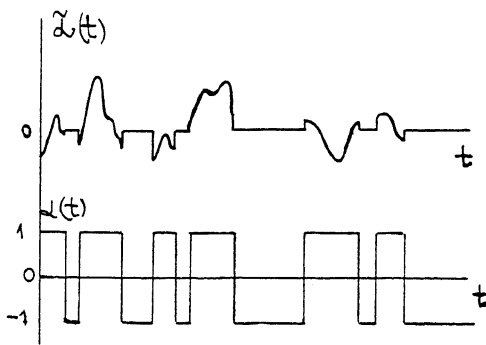


Рис. 1. Пример реализации случайных процессов:  $\alpha(t)$  – марковский дихотомический процесс,  $\tilde{x}(t)$  – процесс с включениями.

$$\dot{u} = A u + \tilde{\alpha}(t) B u + F, \quad (1)$$

где  $u^T(t) = (x^2(t), x(t)\sigma(t), \sigma^2(t))$ ,

$$A = \begin{pmatrix} 0 & 2 & 0 \\ -\omega_c^2 & -\xi & 1 \\ 0 & -2\omega_c^2 & -2\xi \end{pmatrix}, B = \begin{pmatrix} 0 & 0 & 0 \\ -1 & 0 & 0 \\ 0 & -2 & 0 \end{pmatrix}, F(t) = \begin{pmatrix} 0 \\ x\gamma(t) \\ 2\sigma\gamma(t) \end{pmatrix},$$

$x$ ,  $\sigma$  – соответственно координата и скорость осциллятора,  $\xi$  – частота релаксации,  $\omega_c$  – собственная частота осциллятора,  $\gamma(t)$  характеризует действие внешней случайной силы и представляет собой гауссовский белый шум интенсивности  $D$ . Функция  $\tilde{x}(t)$  является случайной и задает закон изменения частоты осциллятора со временем. Считается, что процессы  $\tilde{x}(t)$  и  $\gamma(t)$  статистически не связаны между собой. Рассмотрим случай, когда  $\tilde{x}(t) = \frac{1}{2}(1+\alpha(t))f(t)$ , где  $f(t)$  – гауссовский белый шум интенсивности  $D$ , а  $\alpha(t)$  – марковский дихотомический процесс (иногда его называют телеграфным процессом). Это означает, что функция  $\alpha(t)$  с одинаковой вероятностью принимает в случайные моменты времени только два значения  $\pm 1$ , число скачков на интервале  $dt$  равно  $2\nu dt$  и подчиняется статистике Пуассона. Корреляционная функция процесса  $\alpha(t)$  обладает экспоненциальным спадом с декрементом  $2\nu$ . Считаем процессы  $\alpha(t)$  и  $f(t)$  также статистически несвязанными. Из определения функции следует, что сомножитель  $\frac{1}{2}(1 + \alpha(t))$  в случайные моменты

времени „включает“ флуктуации гауссовского белого шума  $f(t)$  так, что  $\tilde{x}(t)$  представляет собой последовательность прямоугольных импульсов единичной высоты, промодулированных белым гауссовским шумом. Реализацию такого процесса иллюстрирует рис. 1.

Определим среднеквадратичные характеристики:  $\langle x^2(t) \rangle$ ,  $\langle v^2(t) \rangle$  и  $\langle xv(t)v(t) \rangle$ . В результате после усреднения по ансамблю реализаций процессов  $y(t)$  и  $f(t)$  получим (символ среднего для простоты записи опускается)

$$\dot{U} = A\dot{U} + \frac{D}{2} (1 + \alpha(t)) B^2 U + \tilde{F}, \quad (2)$$

где  $\tilde{F}^T = (0, 0, 2D)$ . Усредним теперь стохастическое уравнение (2) по ансамблю реализаций дихотомического процесса  $\alpha(t)$ . Для этого используем метод формул дифференцирования статистических средних [3] (стр. 35, формула (3.9)). В результате система (2) редуцируется к замкнутой системе двух матричных уравнений:

$$\begin{aligned} \langle \dot{U} \rangle &= (A + \frac{D}{2} B^2) \langle U \rangle + \frac{D}{2} B^2 U_1 + \tilde{F}, \\ \dot{U}_1 &= (A - 2\gamma + \frac{D}{2} B^2) U_1 + \frac{D}{2} B^2 \langle U \rangle, \end{aligned} \quad (3)$$

где обозначено  $U_1 = \langle \alpha(t) U \rangle$ , символ  $\langle \dots \rangle$  означает среднее по статистике  $\alpha(t)$ . Система уравнений (3) является точной. Она описывает динамику среднеквадратичных характеристик осциллятора, обусловленную действием на него стохастических полей  $y(t)$  и  $\alpha(t)$ . Полагая в (3)  $\langle \dot{U} \rangle = 0$  и  $\dot{U}_1 = 0$  и разрешая систему относительно переменной  $\langle U \rangle$ , получим

$$\begin{aligned} \langle x^2 \rangle_{ct} &= \frac{D}{\Delta}, \quad \langle v^2 \rangle_{ct} = \frac{D\omega_o^2}{\Delta}, \quad \langle xv \rangle_{ct} = 0, \\ \Delta &= \varepsilon\omega_o^2 - D \frac{D-g}{D-2g}, \quad g = (\varepsilon+2\gamma) [\omega_o^2 + \gamma(\xi+\gamma)]. \end{aligned} \quad (4)$$

Видно, что в установившемся режиме корреляция между скоростью и координатой отсутствует. Этот же результат имеет место и в отсутствие включений поля  $f(t)$ . Очевидно, что для существования стационарных значений среднеквадратичных флюктуаций скорости и координаты необходимо потребовать  $\Delta > 0$ . При  $\frac{1}{2}(1 + \alpha(t)) \equiv 1$ , когда стохастическое поле  $f(t)$  действует непрерывно, имеем  $\langle x^2 \rangle_{ct} = \frac{D}{\varepsilon\omega_o^2 - D}$ ,  $\langle v^2 \rangle_{ct} = \frac{D\omega_o^2}{\varepsilon\omega_o^2 - D}$  и  $\langle xv \rangle_{ct} = 0$  – известный результат, из которого следует, что среднеквадратичная устойчивость осциллятора имеет место при  $D < \varepsilon\omega_o^2$ . Импульсные включения поля  $f$  существенно перестраивают динамику системы. Происходит перестройка и фазового пространства переменных  $(D, \xi, \omega_o)$ . Появляется дополнительная размерность, связанная с частотой  $\gamma$  включений поля  $f$ . Обсудим структуру фазового пространства при фиксированных значениях  $\varepsilon$ .

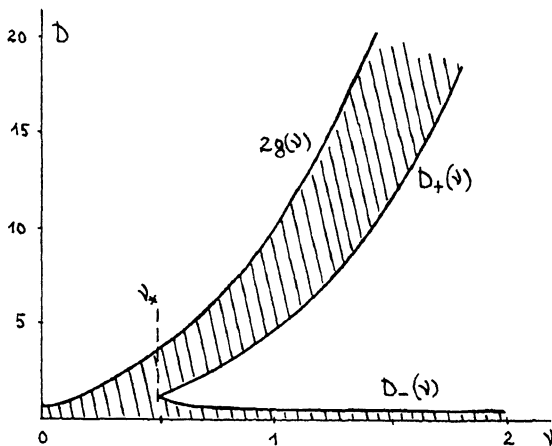


Рис. 2. Фазовая диаграмма устойчивости осциллятора в среднеквадратичном. Область устойчивости заштрихована,  $\nu_* = 0.48$ .

и  $\omega_0$ . Из условия  $\langle x^2 \rangle_{cr} > 0$  и  $\langle v^2 \rangle_{cr} > 0$  имеем  $0 < D < D_-$  и  $D_+ < D < 2g$ , если  $\varphi(\nu) \equiv g^2 - 6\varepsilon\omega_0^2\nu + \varepsilon^2\omega_0^4 > 0$  и  $D < 2g$ , если  $\varphi(\nu) < 0$ , где  $D_{\pm} = D_{\pm}(\nu)$  корни уравнения  $D^2 - (g + \varepsilon\omega_0^2)D + 2g\varepsilon\omega_0^2 = 0$ . Второе условие можно выполнить только для значений  $\nu$  из интервала  $0 < \nu < \nu_*$ , где  $\varphi(\nu_*) \equiv 0$ . В этой области допустимые значения  $D$  лежат ниже кубической параболы  $2g(\nu)$ , причем начинается эта парабола из точки  $2\varepsilon\omega_0^2$ , которая лежит выше значения  $\varepsilon\omega_0^2$ , отвечающего порогу неустойчивости осциллятора при отсутствии переключений. Существенно, что при  $\nu > \nu_*$  на фазовой плоскости появляются две области разрешенных значений  $D$ . Функция  $D_-(\nu)$  монотонно спадает с ростом  $\nu$  и выходит на асимптоту  $2\varepsilon\omega_0^2$ . Вторая область заключена между двумя кубическими параболами  $D_+(\nu)$  и  $2g(\nu)$ . На рис. 2 представлена фазовая диаграмма при  $\varepsilon = 0.3$ ,  $\omega_0 = 1$ .

Физически появление двух областей  $D$  связано с тем, что дихотомические включения параметрической гауссовой случайной силы сообщают осциллятору черты двухуровневой системы. Предельные параметры и свойства „уровней“ можно установить, положив в (2)  $\alpha = +1$ ,  $\alpha = -1$  и вычислить стационарные значения  $\langle x^2 \rangle_{cr}$ ,  $\langle v^2 \rangle_{cr}$ ,  $\langle xv \rangle_{cr}$ . При этом получим, что состояние осциллятора, отвечающее значению  $\alpha = -1$  неустойчиво, а для  $\alpha = +1$  устойчивость имеет место при выполнении определенных условий. Динамика случайных перескоков из состояния с  $\alpha = -1$  в состояние с  $\alpha = +1$  и обратно и возникающая за счет этого диффузия приводят к тому, что из неустойчивого состояния у осциллятора появляется возможность „перескочить“ в состояние более устойчивое так, что стационарный режим устанавливается благодаря „игре“ перескоков с уровня на уровень. В результате этих

процессов осциллятор и становится эффективно двухуровневой системой. Уровень  $0 \leq D < D_-$  характеризует низкочастотные формы движений осциллятора. Например, в пределе очень быстрых включений  $\nu \gg \omega_r, \varepsilon$  для  $D$  имеем  $0 \leq D < 2\varepsilon\omega_r^2$ . Уровень  $D_+ < D < 2\nu$  соответствует высокочастотным формам движений. При  $\nu \gg \omega_r, \varepsilon$  имеем  $2\nu^3 < D < 4\nu^3$ .

Таким образом, проведенное рассмотрение показывает, что случайные включения случайной силы приводят к повышению среднеквадратичной устойчивости параметрического осциллятора. Другой точно решаемый пример —  $\dot{x} = -\alpha x + \alpha(t)x$ ,  $\alpha > 0$  показывает, что устойчивость повышается не только по второму моменту, но и моментам более высокого порядка. Отметим также, что в реальных физических системах подобный характер действия случайных сил скорее правило, чем исключение.

### Список литературы

- [1] Кляцкин В.И. Стохастические уравнения и волны в случайно-неоднородных средах. М.: Наука, 1980. 336 с.
- [2] Ландау Л.Д., Лифшиц Е.М. Механика. М.: Наука, 1973. 208 с.
- [3] Шапиро В.Е., Логинов В.М. Динамические системы при случайных воздействиях. Новосибирск: Наука, 1983. 160 с.

Тувинский комплексный  
отдел СО АН СССР,  
Кызыл

Поступило в Редакцию  
14 февраля 1991 г.

Письма в ЖТФ, том 17, вып. 7

12 апреля 1991 г.

09

© 1991

О КОЛЕБАНИЯХ  $\tilde{\chi}$ -ВИДА  
В ЩЕЛЕВЫХ РЕЗОНАТОРАХ

В.П. Шестопалов, В.В. Щербак

На основе строгой математической модели определена эффективность возбуждения щелевых резонаторов дифракционной решетки в зависимости от глубины и ширины щели. Обнаружено аномальное поведение антрезонансных минимумов возбуждения для  $\tilde{\chi}$ -вида колебаний вплоть до пересечения их с резонансными максимумами и их подавлением.